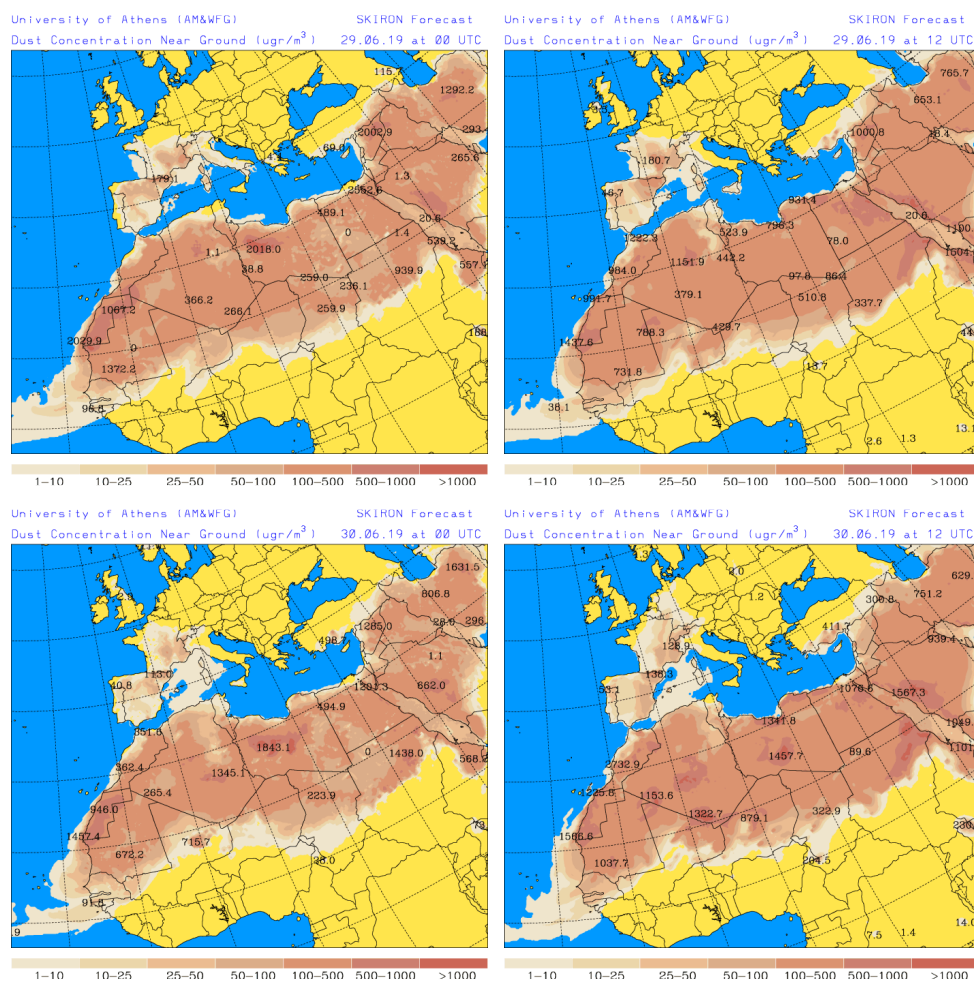
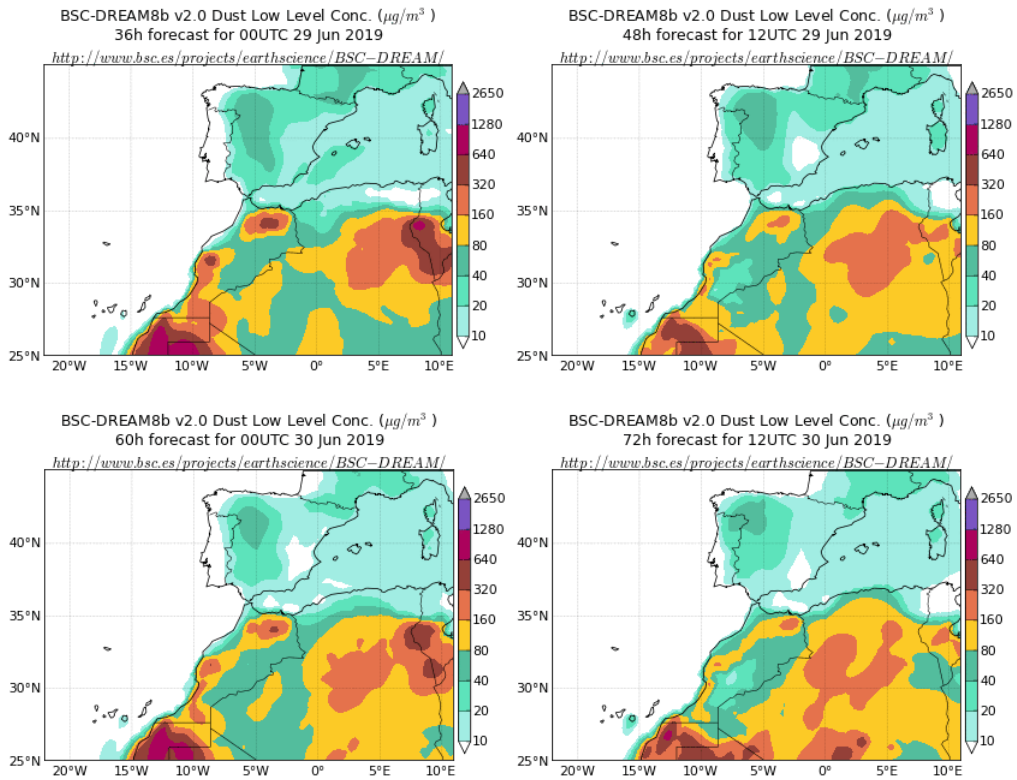


Predicción de intrusión de masas de aire africano sobre España para los días 29 y 30 de junio de 2019

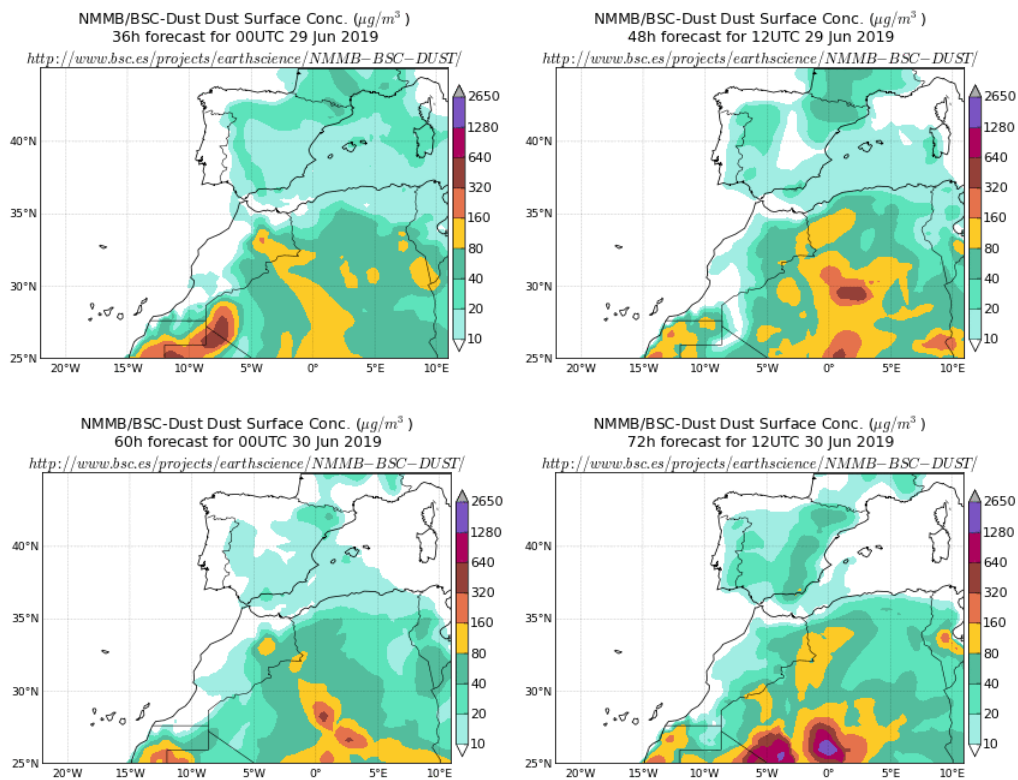
Los modelos consultados prevén que durante los próximos días 29 y 30 de junio persista el evento de intrusión de polvo africano sobre zonas del tercio sur, de Levante, del centro y del NE de la Península. En estas regiones se podrían registrar contribuciones de polvo en el rango 20-140 $\mu\text{g}/\text{m}^3$, si bien es posible que se produzca una reducción paulatina en las concentraciones de polvo en zonas del SE y de Levante según transcurran las horas. Incluso se prevé que se puedan registrar aportes de polvo mineral en la región NO de la misma en el rango 10-50 $\mu\text{g}/\text{m}^3$. Se prevé que se produzcan eventos de depósito seco de polvo durante todo el fin de semana en gran parte de la Península Ibérica, con excepción de zonas del NO de la misma y durante el día 30 de junio en el archipiélago balear. También podrían producirse eventos de depósito húmedo de polvo en zonas del centro de la Península, durante la segunda mitad del día 30 de junio.



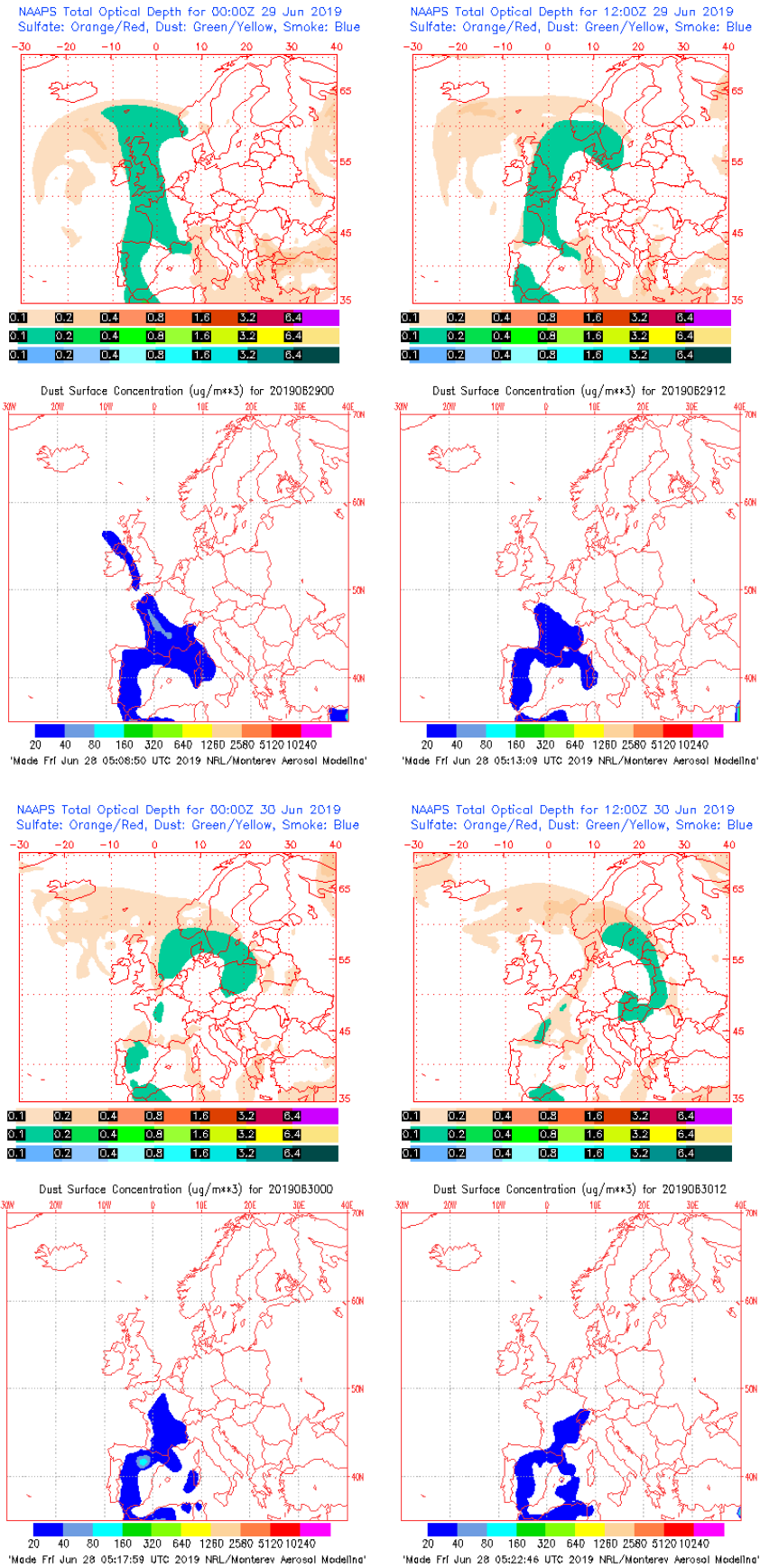
Concentración de polvo ($\mu\text{g}/\text{m}^3$) predicha por el modelo SKIRON para los días 29 (superior) y 30 (inferior) de junio de 2019 a las 00 UTC (izquierda) y a las 12 UTC (derecha). © Universidad de Atenas.



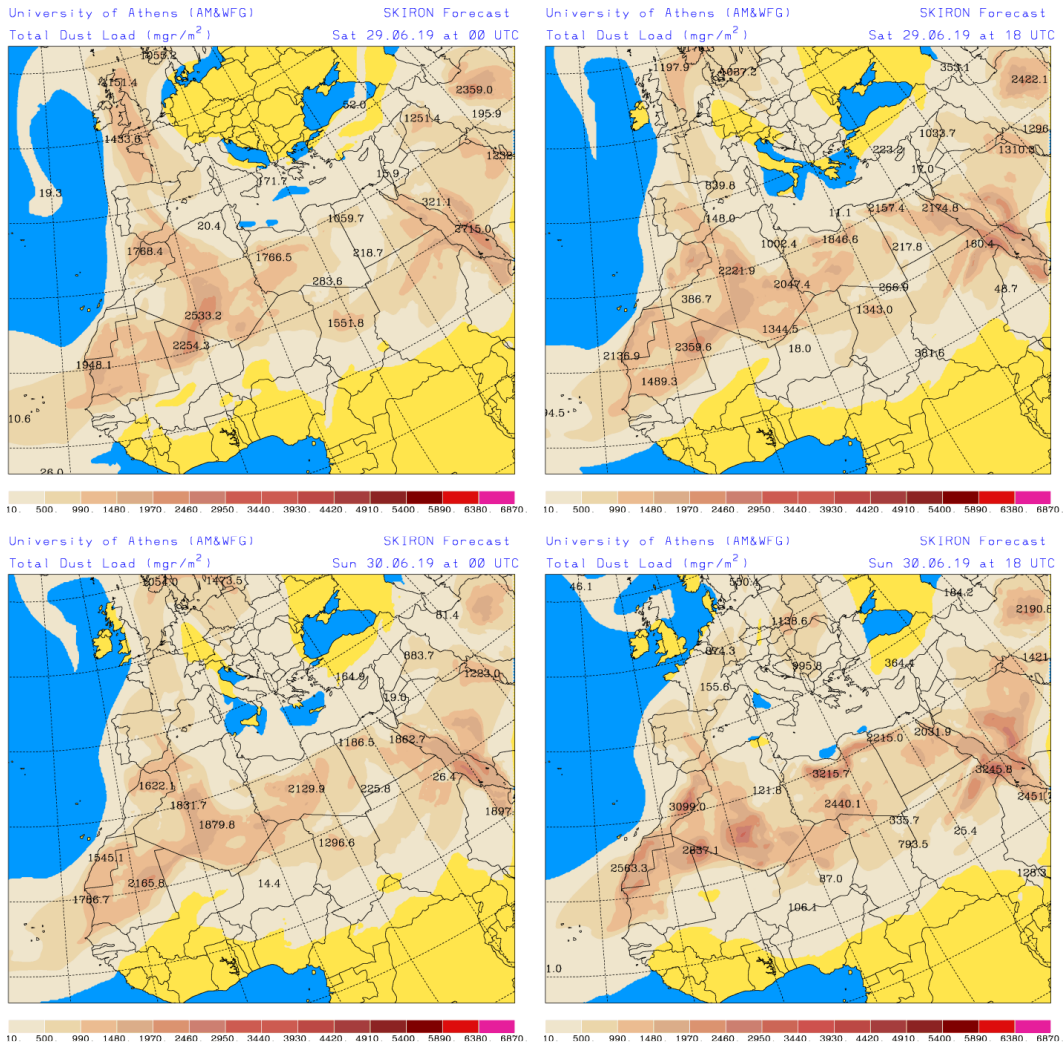
Concentración de polvo ($\mu\text{g}/\text{m}^3$) predicha por el modelo BSC-DREAM8b v2.0 para los días 29 (superior) y 30 (inferior) de junio de 2019 de 2018 a las 00 UTC (izquierda) y a las 12 UTC (derecha). © Barcelona Dust Forecast Center



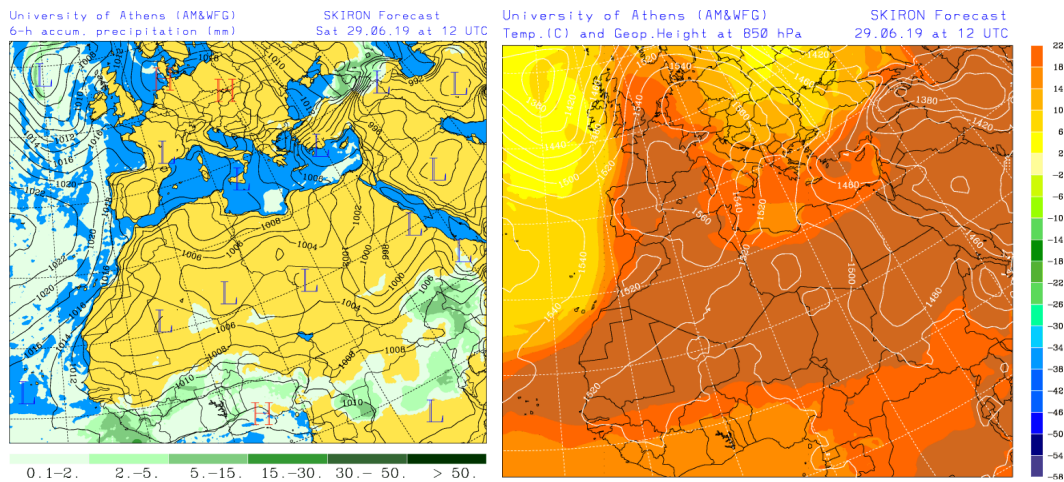
Concentración de polvo ($\mu\text{g}/\text{m}^3$) predicha por el modelo NMMB/BSC-Dust para los días 29 (superior) y 30 (inferior) de junio de 2019 de 2018 a las 00 UTC (izquierda) y a las 12 UTC (derecha). © Barcelona Dust Forecast Center.



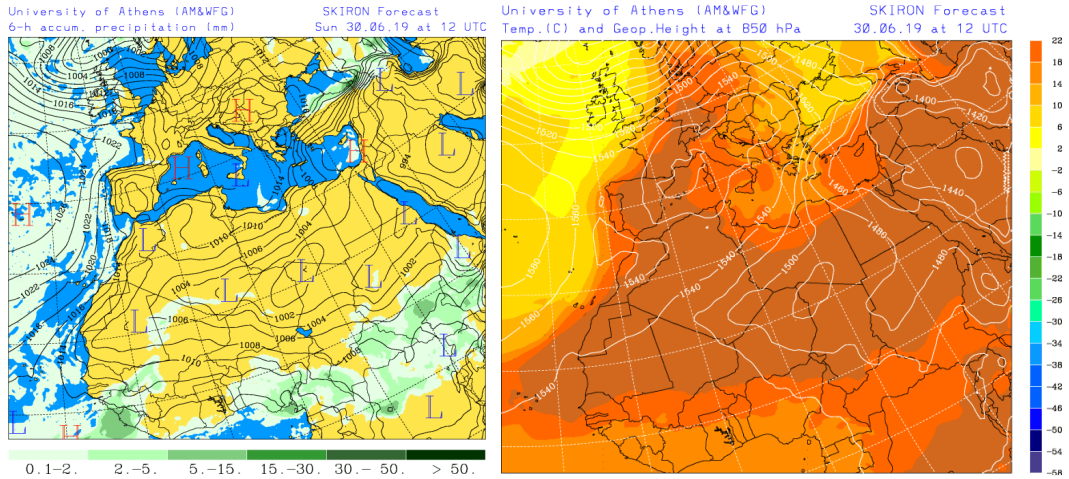
Espesor óptico de aerosoles a 550 nm (arriba) y concentración de polvo a nivel de superficie (abajo) previstos por el modelo NAAPS para los días 29 y 30 de junio de 2019 a las 00 UTC (izquierda) y a las 12 UTC (derecha). ©Naval Research Laboratory (NRL), Monterey, CA.



Carga total de polvo (mg/m^2) predicha por el modelo SKIRON para los días 29 (superior) y 30 (inferior) de junio de 2019 a las 00 UTC (izquierda) y a las 18 UTC (derecha). © Universidad de Atenas.

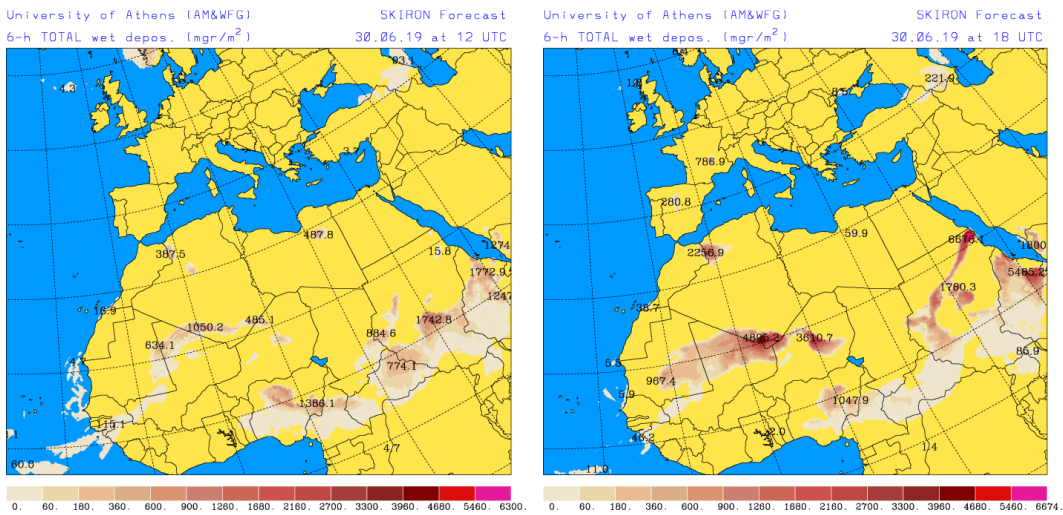


Precipitación acumulada (mm) y presión a nivel del mar (hPa) (izquierda) y campo de temperaturas (°C) y de altura geopotencial a 850 hPa (derecha) previsto por el modelo SKIRON para el día 29 de junio de 2019 a las 12 UTC. © Universidad de Atenas.



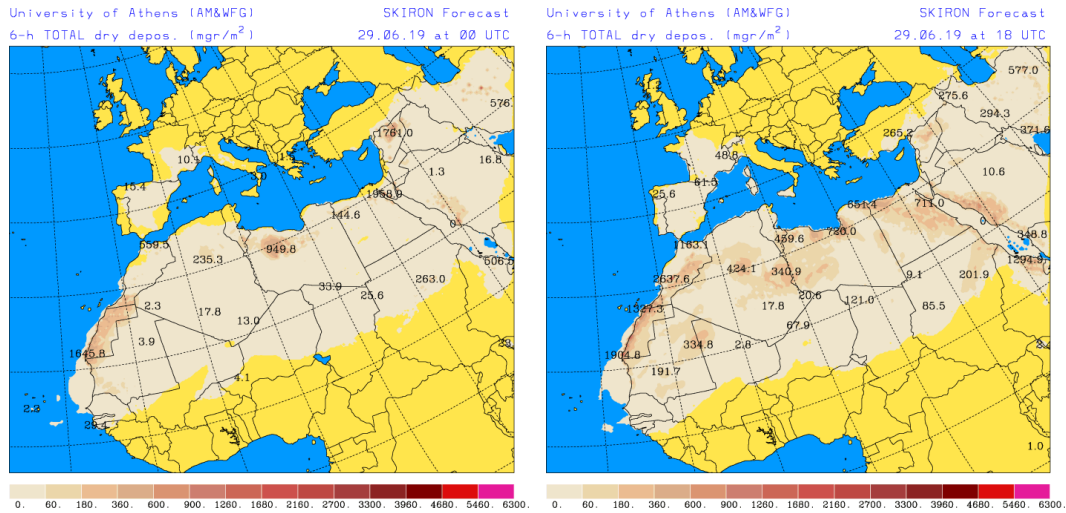
Precipitación acumulada (mm) y presión a nivel del mar (hPa) (izquierda) y campo de temperaturas (°C) y de altura geopotencial a 850 hPa (derecha) previsto por el modelo SKIRON para el día 30 de junio de 2019 a las 12 UTC. © Universidad de Atenas.

La previsible persistencia de un patrón meteorológico sinóptico caracterizado por la presencia de altas presiones en altura sobre el centro del continente europeo y el norte de África, dará continuidad a los flujos de viento de componente S-SO sobre los sectores occidental y central de dicho continente.

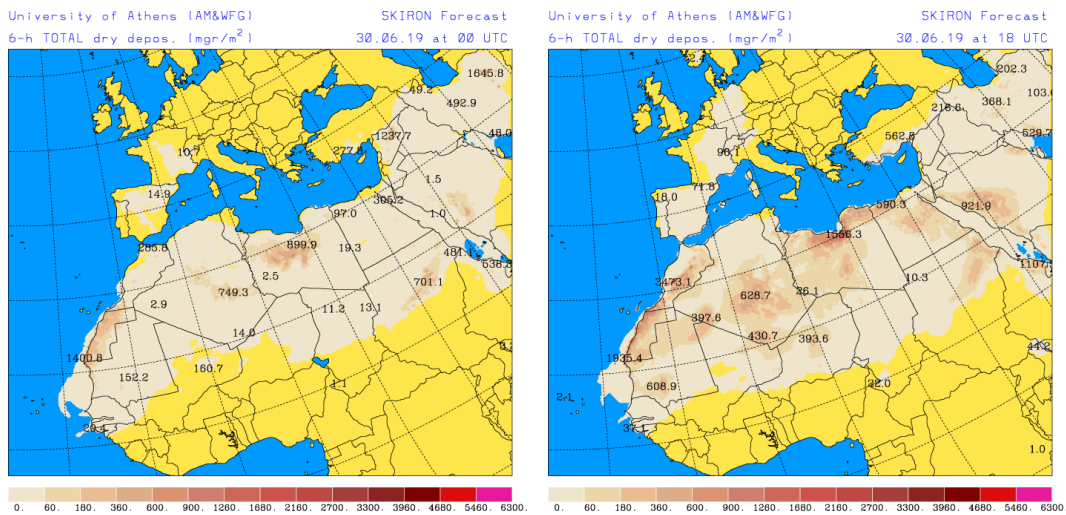


Depósito húmedo de polvo (mg/m^2) predicho por el modelo SKIRON para el día 15 de junio de 2019 a las 12 UTC (izquierda) y a las 18 UTC (derecha). © Universidad de Atenas

Según el modelo SKIRON se prevé que se produzcan eventos de depósito seco de polvo durante todo el fin de semana en gran parte de la Península Ibérica, con excepción de zonas del NO de la misma y durante el día 30 de junio también en el archipiélago balear. Además podrían producirse eventos de depósito húmedo de polvo en zonas del centro de la Península durante la segunda mitad del día 30 de junio.



Depósito seco de polvo (mg/m^2) predicho por el modelo SKIRON para el día 29 de junio de 2019 a las 00 UTC (izquierda) y a las 18 UTC (derecha). © Universidad de Atenas



Depósito seco de polvo (mg/m^2) predicho por el modelo SKIRON para el día 30 de junio de 2019 a las 00 UTC (izquierda) y a las 18 UTC (derecha). © Universidad de Atenas

Fecha de elaboración de la predicción: 28 de junio de 2019

Predicción elaborada por Pedro Salvador (CIEMAT)

Los datos son propiedad de la Dirección General de Calidad y Evaluación Ambiental, del Ministerio para la Transición Ecológica, y han sido obtenidos y se suministran en el marco del “Encargo del Ministerio para la Transición Ecológica a la Agencia Estatal Consejo Superior de Investigaciones Científicas para la detección de episodios naturales de aportes transfronterizos de partículas y otras fuentes de contaminación de material particulado, y de formación de ozono troposférico”.